

УДК 621.05

## Выбор алгоритма рационального управления релейным многопозиционным пневмоприводом

Timchenko E.I., студент

61002, Украина, Харьков, НТУ «Харьковский политехнический институт»,  
кафедра «Гидропневмоавтоматика и гидропривод»

Научный руководитель: Крутиков Г.А., д.т.н., профессор  
61002, Украина, Харьков, НТУ «Харьковский политехнический институт»

[vyaroz@bmstu.ru](mailto:vyaroz@bmstu.ru)

При релейном управлении оптимальная линия переключения в фазовой плоскости может быть представлена в виде траектории рабочего органа (РО) пневмопривода (ПП) при самом радикальном способе торможения, т.е. переключение полостей пневмоцилиндра с магистрального ( $p_m$ ) на атмосферное ( $p_a$ ) давление в рабочей полости и с атмосферного на магистральное в выхлопной полости ПП. Уравнение фазовой траектории РО ПП в этом случае выглядит так:

$$\frac{dv}{dx} = \frac{F}{m \cdot v} \Delta p_M \sin U \quad (1)$$

где  $m$  – масса подвижных частей;  $x$ ,  $v$  – координата и скорость РО ПП;  $\Delta p_M = p_m - p_a$  – максимальный перепад давлений на поршне (рис. 1);  $U$  – функция переключения.

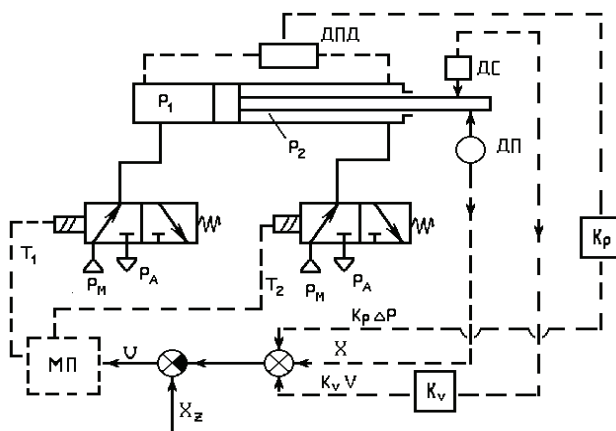


Рис.1. Базовая пневматическая схема

Оптимальная функция линии переключения при таких допущениях:

$$U = v^2 \cdot signv - \frac{2F \cdot \Delta p_M}{m} (x_Z - x) = 0 \quad (2)$$

Графическое изображение такой линии переключения дано на рис. 2, где она ( $Bx_ZB'$ ) разделяет фазовую плоскость, заполненную траекториями прямого хода (слева) и плоскость, заполненную траекториями реверса (справа). Однако, следует учесть, что линия переключения вида  $Bx_ZB'$  получена при достаточно грубом допущении о том, что давление в полостях цилиндра меняется дискретно от  $p_m$  до  $p_a$  и наоборот и это изменение носит мгновенный характер при срабатывании пневмораспределителей.

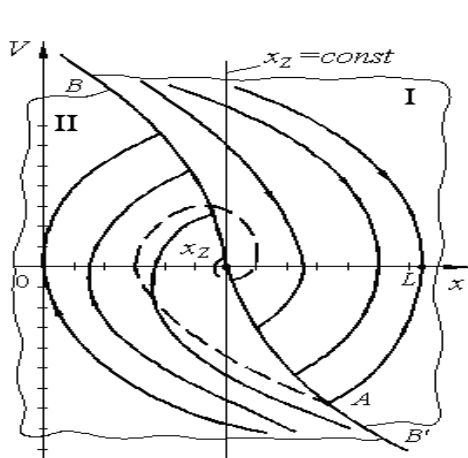


Рис. 2. Линия переключения в фазовой плоскости

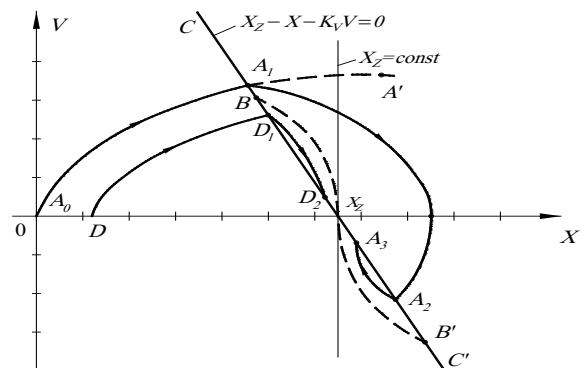


Рис. 3. Движение РО ПП вдоль линии переключения в фазовой плоскости

На самом деле, полости цилиндра обладают большой избыточной памятью и достаточно долго "помнят" своё предыдущее состояние. Ввиду сложности газодинамических процессов в полостях и коммутационных трактах ПП нахождение реальной линии переключения представляет трудноразрешимую задачу. Более предпочтительным является использование релейной обратной связи в виде двухконтурного ПД-регулятора, которая в фазовой плоскости интерпретируется в виде прямой линии переключения, проходящей через точку позиционирования (рис. 3). Такие пневмоаппараты (ПА), как и классические следящие системы имеют контур обратной связи, но вместо аналогового сервоклапана, реагирующего на величину и знак рассогласования, они имеют дискретный пневмораспределитель с ярко выраженной релейной характеристикой и реагируют только на знак функции рассогласования  $U$ .

Алгоритм управления в данном случае применительно к базовой пневмосхеме на рис. 1 имеет вид:

$$\begin{aligned} T_1 &= \frac{1 - \text{sign}U}{2} = \frac{1 - \text{sign}(x_z - x - K_V \dot{x})}{2}; \\ T_2 &= \frac{1 + \text{sign}U}{2} = \frac{1 + \text{sign}(x_z - x - K_V \dot{x})}{2}, \end{aligned} \quad (3)$$

где  $T_1$  и  $T_2$  – булевые переменные ( $T_1 = 1$  – ток на электромагнит пневмораспределителя подан;  $T_1 = 0$  – ток отключен).

Техническая реализация заданного алгоритма не составляет труда, т.к. по сути своей он идентичен реализации пропорционально-дифференциальной обратной связи (двухконтурный ПД-регулятор) при наличии релейного элемента в прямой цепи. Если функция рассогласования имеет вид  $U = x_z - x - K_V \dot{x}$ , а релейный элемент (3/2 дискретный распределитель) реагирует только на знак функции рассогласования, то это и обеспечивает движение РО вдоль линии переключения, задаваемый уравнением  $x_z - x - K_V \dot{x} = 0$ , с большим или меньшим отклонением от нее (рис. 3).

Наиболее перспективным с точки зрения повышения быстродействия является такой режим движения РО, при котором большую часть расстояния между координатами позиционирования ПА проходит оставаясь разомкнутым без использования дросселирующих элементов в питающем и выхлопном трактах

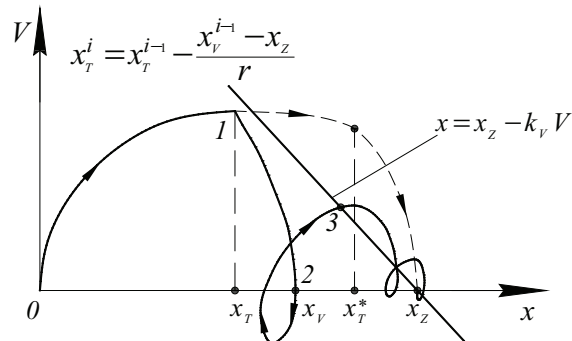


Рис. 4. Процесс автоматического определения оптимальной координаты торможения  $x_T^*$

В связи с этим наиболее рациональным для ПП, работающего в системе позиционного управления, представляется 3-х этапный режим позиционирования, при котором первые два этапа – разгон и радикальное (грубое) торможение вплоть до первой остановки РО осуществляется при разомкнутом ПА (траектория 0-1-2 на рис. 4), и только третий, завершающий этап, представляет собой отслеживание линии переключения

(траектория 2-3- $x_Z$ ), когда один из распределителей (реверсивный) переключается в зависимости от знака функции рассогласования. При этом реализация наиболее протяженных первых двух этапов позиционирования не требует вычисления скорости и функции  $U$ .

В этом случае достаточно легко реализуется режим самообучения, при котором корректировка подвергается лишь координата радиального (грубого) торможения  $x_T$  в соответствии с формулой:

$$x_T^i = x_T^{i-1} - (x_V^{i-1} - x_Z) / r, \quad (4)$$

где  $x_T^{i-1}$ ,  $x_V^{i-1}$  – координаты торможения и первой остановки РО при предыдущем опыте.

Такая корректировка проводится либо в режиме предварительного тестирования, либо непосредственно в эксплуатационном режиме и, в конечном итоге, ведет к исключению третьего этапа позиционирования. Это произойдет, когда по завершении очередного этапа радиального

торможения

$$|x_Z - x_V^i| < \varepsilon, \quad (5)$$

где  $\varepsilon$  – заданная точность позиционирования.

Найденная координата оптимального торможения  $x_T^*$  запоминается. Переход к третьему этапу позиционирования в эксплуатационном режиме возможен, когда условия функционирования изменятся настолько, что координата позиционирования выйдет за пределы заданной точности  $\varepsilon$ . Третий этап в этом случае осуществляет "страховку", т.е. безусловную обработку заданной координаты позиционирования с заданной точностью. При этом произойдет корректировка координаты начального торможения. В этом смысле данный алгоритм с полным основанием можно считать адаптивным.

Отработка заданного алгоритма управления на основе простейшей базовой схемы на рис. 1 имеет один существенный недостаток: ограниченное число коммутационных ситуаций создаваемых этой схемой. Использование одних и тех же коммутационных ситуаций в режиме "разгон-торможение" и режиме отслеживания линии переключения во многих случаях ведет к неустойчивой отработке линии переключения. Отработка линии переключения требует создания намного более "деликатного" режима управления РО, чем режим "разгон-торможение". На рис. 5 представлен управляющий пневматический модуль

многопозиционного ПП, обладающий большой функциональной гибкостью, в наибольшей степени отвечающей предложенной стратегии управления.

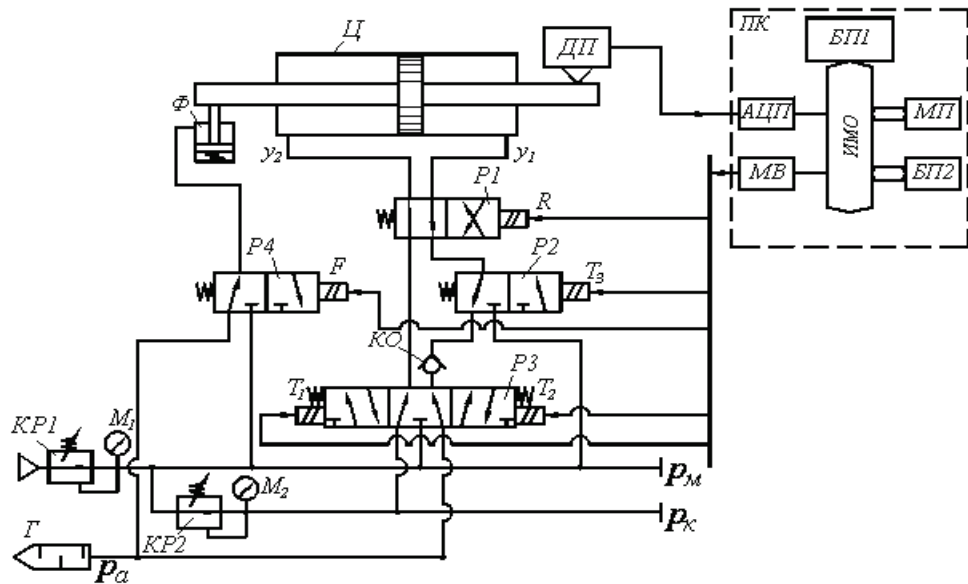


Рис. 5. Универсальный пневматический модуль для трёхэтапного позиционирования на базе 5-ти линейного 3-ех позиционного распределителя

Алгоритм №1

Фазы движения	$T_1$	$T_2$	$T_3$	$R$	Фазы движения	$T_1$	$T_2$	$T_3$	$R$
разгон	1	0	0	0	разгон	1	0	0	0
грубое торможение	0	1	1	0	грубое торможение	0	1	0	0
отслеживание линии переключения	0	1	1	$\frac{1 - signU}{2}$	отслеживание линии переключения	0	0	0	$\frac{1 - signU}{2}$
фиксация	1	0	0	0	фиксация	0	0	0	0

Алгоритм №2

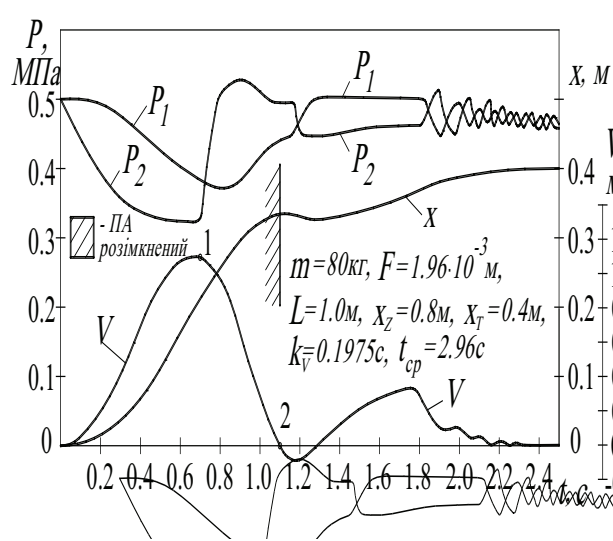


Рис.6. Переходной процесс для ПП с алгоритмом № 1

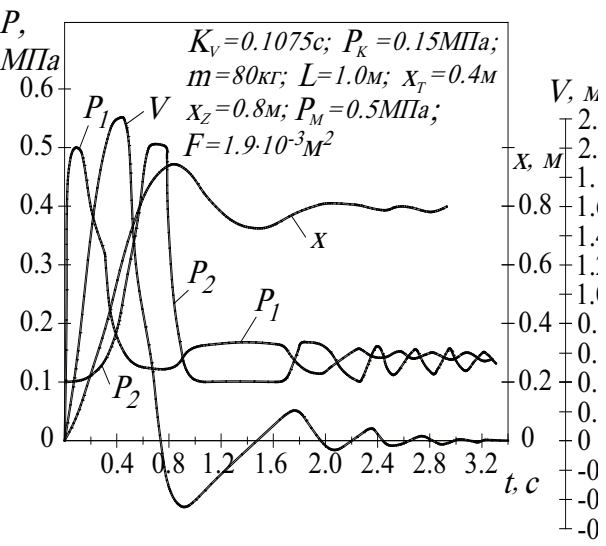


Рис. 7. Переходной процесс для ПП с алгоритмом № 2

Контур питания пневмомодуля на рис. 5 включает в себя три стабилизированных уравнения давления  $P_m$ ,  $P_k$  и  $P_a$ . Причём  $P_m > P_k > P_a$ . Схема обеспечивает около десяти алгоритмов позиционирования, два из которых представлены в виде таблицы включения электромагнитов пневмораспределителей. При реализации алгоритма № 1 давление настройки  $P_k$  редукционного клапана КР2 выбирается близким к магистральному давлению  $P_m$ . Достоинство этого алгоритма – жёсткая отработка линии переключения ввиду того, что в этом случае пневмоцилиндр обладает наивысшей пневматической жёсткостью [1].

При реализации алгоритма № 2 давление  $P_k$  выбирается близким к атмосферному и реализуется энергосберегающий режим работы (рис. 7).

На рис. 8 показан процесс самообучения, в результате которого за 5 опытов достигается заданная точность позиционирования и процесс становится двухэтапным. Переход к двухэтапному процессу позиционирования, в свою очередь, снижает время позиционирования в 2÷2,5 раза (в данном случае от 2,96 с до 1,27 с).

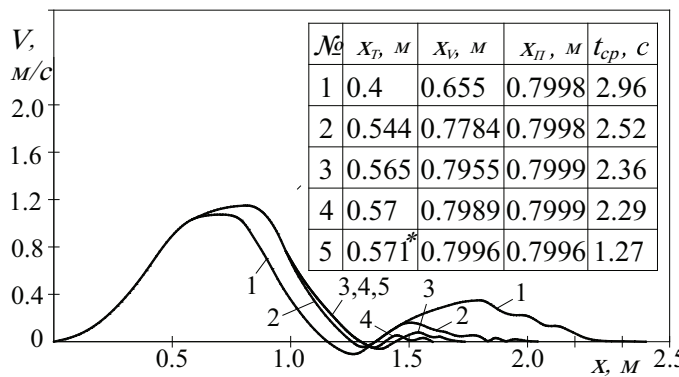


Рис. 8. Процесс самообучения для ПП с алгоритмом № 1

Результаты исследований процесса позиционирования на опытном макете ПП, работающем по схеме на рис. 5 с алгоритмом № 1 представлены на рис. 9. После осуществления тестирования (достигалась ошибка позиционирования  $|\varepsilon| = 0,1$  мм) проводилось исследование разброса ошибки в результате 50 рабочих ходов. В одном случае механизм коррекции отключался (рис. 9 а), в другом случае механизм коррекции (адаптации) был включён (рис. 9б).

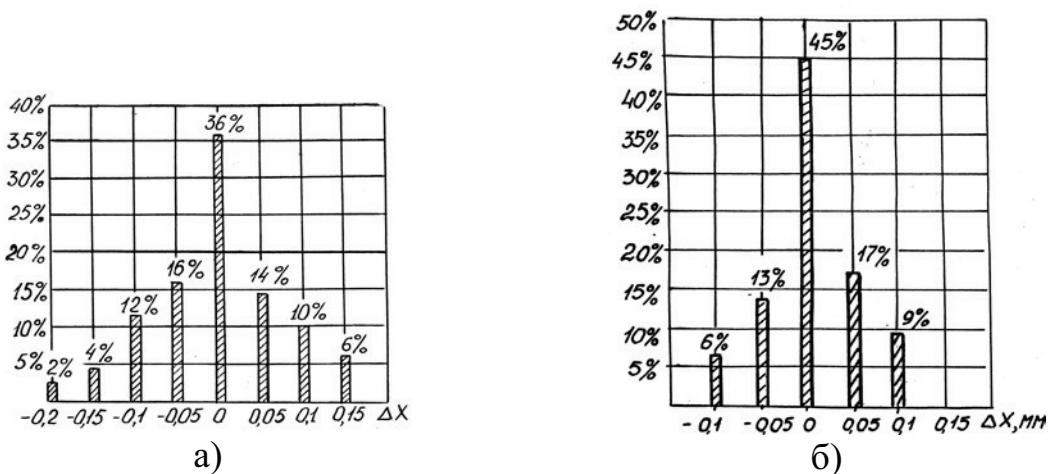


Рис. 9. Функция распределения ошибки позиционирования при  $x_Z = 800$  мм для ПП без рабочей коррекции (а) и с рабочей коррекцией (б)

Как видно из графиков, во втором случае система эффективно парирует первичные ошибки, связанные, прежде всего, с нестабильностью работы пневмораспределителей и жёстко удерживает полосу рассеивания ошибки  $2|\Delta y| = 0,2$  мм.

### Список литературы

1. Крутиков Г.А. Расчёт параметров движения дискретного пневмоагрегата на основе его упруго-вязкостной модели / Г.А. Крутиков, М.Г. Стрижак. – Восточно-Европейский журнал передовых технологий, 2011, № 6/7(54). – С. 47–50.